

2. При нагріві на поверхні пластини виникають сжимаючі (отрицательні) напруження, а в середині розтягуючі (положительні); в процесі охолодження знаки поменяються.

3. Нейтральні шари розташовані декількома ближче до поверхні.

4. Найбільше значення по абсолютній величині мають напруження на поверхні, які приблизно в 2 рази перевищують термонапруження в середині плити.

#### ЛИТЕРАТУРА

1. Горбунов А.Д., Шабельник О.М. К розрахунку температурних полів і термічних напружень при на-

гріві плоских тел в русомому шарі / Сб.науч.трудів НМетАУ. – Том 7. – Днепропетровск: 2002. – С. 40–45.

2. Гольдфарб Э.М., Горбунов А.Д. Определение корней трансцендентных уравнений при нагріві тел в прямо́токе и противото́ке // ИФЖ. – 1984. – Т.46. – № 5. – С. 870–871.

3. Горбунов А.Д., Гольдфарб Э. М. Нахождение корней трансцендентных уравнений в задачах теплопроводности пластини при неоднородных граничных условиях // Изв. вузов. Черная металлургия. – 1983. – № 8. – С. 104–108.

4. Тайц Н.Ю. Технология нагріві стали. – М.: Металлургиздат, 1950. – 151 с.

пост. 02.02.2010

## Вивчення траєкторії руху дроту при введенні в металеву ванну під час продувки аргонем на установці ківш-піч. Частина 1. Математична модель

ПІПТЮК В.П.<sup>1)</sup>, САМОХВАЛОВ С.С.<sup>2)</sup>, ГНИП Р.Р.<sup>2)</sup>, ПАВЛОВ С.М.<sup>1)</sup>, ОВЧАРЕНКО Т.М.<sup>2)</sup>

Інститут чорної металургії НАН України<sup>1)</sup>  
Дніпродзержинський державний технічний університет<sup>2)</sup>

Отримано математичну модель траєкторії руху дроту під час продувки металу в тривимірному випадку.

Получено математическую модель траектории движения проволоки при продувке металла в трехмерном случае.

The mathematical model of trajectory of wire's movement was obtained in 3-dimensional case.

Одним з найбільш ефективних способів ресурсозберігаючої позапічної обробки сталі і модифікування металу є примусовий ввід алюмінієвого або порошкового дроту під рівень металу в сталерозливному або проміжному ковшах.

В існуючих роботах [1..3] досліджена кінетика плавлення дроту в залежності від його діаметру та швидкості вводу, а також задача руху та подальшого засвоєння дроту в процесі усередненої продувки металу в сталерозливному ковші. В роботі [3] під час продувки металу через шибєрний затвор задачу було розглянуто в тривимірній постановці, проте не достатньо коректно – явно не було розписано математичну модель.

В даній роботі розглядається математична модель траєкторії руху дроту під час продувки металу в сталерозливному ковші через донний блок з двох фурм або фурму асиметрично розташовану в тривимірному випадку.

Опис руху дроту в ковші будемо моделювати за допомогою набору твердих стрижнів однакової довжини  $l$ , зчеплених в єдину систему, які утримуються силами пружності. Стрижні будемо називати векторами  $\vec{l}_i$ , напрямленими від «початку» до «кінця» дроту, причому

«початком» його будемо вважати закріплений кінець дроту, або , у випадку, коли дріт розмотується, точку поблизу котушки, швидкість якої задана. «Кінцем» дроту будемо вважати його вільний кінець.

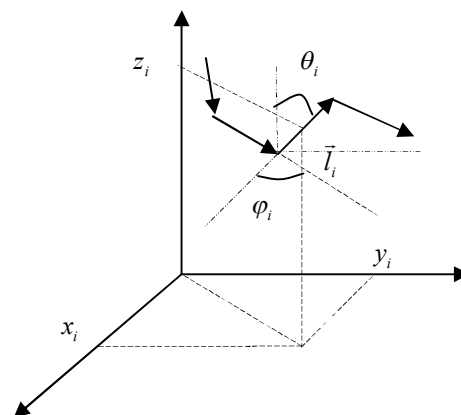


Рис. 1

Надалі будемо вести просторовий розгляд. В такому випадку кількість степенів свободи такої системи дорівнює подвоєному числу стрижнів  $N$ . В якості узагальнених координат системи можна обрати азимутальні  $\theta_i$  та полярні  $\varphi_i$  кути в сферичній системі координат, які відносяться до  $i$ -го стрижня (рис. 1), за допомогою яких декартові координати вектора  $\vec{l}_i$ , який відноситься до  $i$ -го стрижня, записуються в наступному виді:

$$\vec{l}_i^x = l \sin \theta_i \cos \varphi_i, \quad \vec{l}_i^y = l \sin \theta_i \sin \varphi_i, \quad \vec{l}_i^z = l \cos \theta_i \quad (1)$$

Таким чином, радіус-вектори центрів мас стрижнів:

$$\vec{r}_i = \vec{r}_0 + \sum_{j=1}^{i-1} \vec{l}_j + \frac{1}{2} \vec{l}_i \quad (2)$$

мають наступні декартові координати:

$$x_i = x_0 + l \sum_{j=1}^{i-1} \sin \theta_j \cos \varphi_j + \frac{l}{2} \sin \theta_i \cos \varphi_i, \quad (3)$$

$$y_i = y_0 + l \sum_{j=1}^{i-1} \sin \theta_j \sin \varphi_j + \frac{l}{2} \sin \theta_i \sin \varphi_i, \quad (4)$$

$$z_i = z_0 + l \sum_{j=1}^{i-1} \cos \theta_j + \frac{l}{2} \cos \theta_i \quad (5)$$

і швидкості:

$$\begin{aligned} v_i^x = v_0^x + l \sum_{j=1}^{i-1} (\omega_j \cos \theta_j \cos \varphi_j - \sigma_j \sin \theta_j \sin \varphi_j) + \\ + \frac{l}{2} (\omega_i \cos \theta_i \cos \varphi_i - \sigma_i \sin \theta_i \sin \varphi_i), \end{aligned} \quad (6)$$

$$\begin{aligned} v_i^y = v_0^y + l \sum_{j=1}^{i-1} (\omega_j \cos \theta_j \sin \varphi_j + \sigma_j \sin \theta_j \cos \varphi_j) + \\ + \frac{l}{2} (\omega_i \cos \theta_i \sin \varphi_i + \sigma_i \sin \theta_i \cos \varphi_i), \end{aligned} \quad (7)$$

$$v_i^z = v_0^z - l \sum_{j=1}^{i-1} \omega_j \sin \theta_j - \frac{l}{2} \omega_i \sin \theta_i, \quad (8)$$

де  $\omega_i = \dot{\theta}_i$ ,  $\sigma_i = \dot{\varphi}_i$  – відповідні кутові швидкості.

Кінетична енергія системи стрижнів задається наступним виразом [4]:

$$T = \sum_{i=1}^N \left[ \frac{m_i}{2} (v_i^x{}^2 + v_i^y{}^2 + v_i^z{}^2) + \frac{l^2}{12} (\omega_i^2 + \sigma_i^2 \sin^2 \theta_i) \right], \quad (9)$$

де  $m_i$  – маса  $i$ -го стрижня.

Потенційна енергія системи:

$$U = \sum_{i=1}^N \left[ g k_i m_i z_i + \frac{\kappa_i}{2} (\Delta_i - \psi_i)^2 \right] \quad (10)$$

визначається полем сил тяжіння з урахуванням виштовхуючої сили (перший доданок в формулі (6)) і силами пружності дроту, які виникають при його згині (другий доданок). Тут  $g$  – прискорення вільного падіння,  $k_i = (1 - \rho_0 / \rho_i)$ , де  $\rho_0$  і  $\rho_i$  – густина розплаву і середня густина  $i$ -го стрижня,  $\kappa_i$  – коефіцієнти пружності в з'єднанні  $(i-1)$ -го та  $i$ -го стрижнів,  $\Delta_i$  – кути між ними,  $\psi_i$  – кути залишкової деформації. При визначенні кутів  $\Delta_i$  припускаємо, що вони малі. В цьому випадку справедливо відношення:

$$\Delta_i^2 = \Delta \theta_i^2 + \Delta \varphi_i^2 \sin^2 \theta_i, \quad (11)$$

де  $\Delta \theta_i = \theta_i - \theta_{i-1}$ ,  $\Delta \varphi_i = \varphi_i - \varphi_{i-1}$

Окрім потенційних сил на систему діють сили опору зі сторони розплаву. Силами опору обертовому рухові стрижнів в порівнянні з поступальним знехтуємо. Нехай  $\vec{w}_i$  – швидкість центру мас  $i$ -го стрижня відносно розплаву (поступальна складова швидкості стрижня), а  $\vec{l}_i$  – його напрямок. Очевидно, якщо швидкість  $\vec{w}_i$  направлена уздовж  $\vec{l}_i$ , опором руху  $i$ -го стрижня можна знехтувати. Тому будемо вважати, що сила опору визначається лише перпендикулярній стрижню складовою швидкості:

$$\vec{w}_i^\perp = \vec{w}_i - (\vec{l}_i \cdot \vec{w}_i) \vec{l}_i / l^2 \quad (12)$$

наступним чином:

$$\vec{f}_i = -\frac{C}{d_i} m_i w_i^\perp \vec{w}_i^\perp, \quad (13)$$

де  $d_i$  – діаметр  $i$ -го стрижня,  $C$  – безрозмірний коефіцієнт опору.

Динаміка системи визначається  $2N$  рівняннями Лагранжа другого роду [5]:

$$\dot{p}_k^o = \frac{\partial T}{\partial \theta_k} - \frac{\partial U}{\partial \theta_k} + Q_k^o, \quad k = \overline{1, N} \quad (14)$$

$$\dot{p}_k^o = \frac{\partial T}{\partial \varphi_k} - \frac{\partial U}{\partial \varphi_k} + Q_k^o$$

де

$$\dot{p}_k^o = \frac{\partial T}{\partial \omega_k}, \quad \dot{p}_k^o = \frac{\partial T}{\partial \sigma_k} \quad (15)$$

узагальнені імпульси, а

$$Q_k^o = \sum_{i=1}^N \vec{f}_i \cdot \frac{\partial \vec{r}_i}{\partial \theta_k}, \quad Q_k^o = \sum_{i=1}^N \vec{f}_i \cdot \frac{\partial \vec{r}_i}{\partial \varphi_k} \quad (16)$$

дисипативні узагальнені сили, які пов'язані з кутами  $\theta_k$  і  $\varphi_k$  відповідно.

Користуючись виразом (9) для кінетичної енергії, визначимо спочатку узагальнені імпульси системи. В результаті отримаємо:

$$\begin{aligned} p_k^o = l M_k v_{0k}^1 + l^2 \sum_{j=1}^{k-1} M_k (a_{jk} \omega_j + b_{jk} \sigma_j) + \\ + l^2 \left( M_k - \frac{m_k}{6} \right) \omega_k + l^2 \sum_{j=k+1}^N M_j (a_{jk} \omega_j + b_{jk} \sigma_j), \\ p_k^o = l M_k v_{0k}^2 + l^2 \sum_{j=1}^{k-1} M_k (c_{jk} \omega_j + d_{jk} \sigma_j) + \\ + l^2 \left( M_k - \frac{m_k}{6} \right) \sigma_k \sin^2 \theta_k + l^2 \sum_{j=k+1}^N M_j (c_{jk} \omega_j + d_{jk} \sigma_j). \end{aligned}$$

Тут введені позначення:

$$M_i = \sum_{j=i+1}^N m_j + \frac{m_i}{2} \quad (17)$$

для маси частини системи, яка розміщена після центру мас  $i$ -ї ланки,

$$\begin{aligned} v_{0k}^1 = (v_0^x \cos \varphi_k + v_0^y \sin \varphi_k) \cos \theta_k - v_0^z \sin \theta_k, \\ v_{0k}^2 = -(v_0^x \sin \varphi_k - v_0^y \cos \varphi_k) \sin \theta_k, \end{aligned}$$

для компонент різним способом повернутої початкової швидкості, а також

$$\begin{aligned} a_{jk} = \cos \theta_j \cos \theta_k \cos(\varphi_j - \varphi_k) + \sin \theta_j \sin \theta_k, \\ b_{jk} = -\sin \theta_j \cos \theta_k \sin(\varphi_j - \varphi_k), \\ c_{jk} = \cos \theta_j \sin \theta_k \sin(\varphi_j - \varphi_k), \end{aligned}$$

$$d_{jk} = \sin \theta_j \sin \theta_k \cos(\varphi_j - \varphi_k)$$

для характерних комбінацій тригонометричних функцій.

Обчислимо узагальнені сили, які діють на систему і, перш за все, сили інерційного походження:

$$\begin{aligned} \frac{\partial T}{\partial \theta_k} &= \frac{l^2}{24} m_k \sigma_k^2 \sin 2\theta_k - l \sum_{j=k+1}^N m_j (v_{jk}^3 \omega_k + v_{jk}^4 \sigma_k) - \\ &\quad - \frac{l}{2} m_k (v_{kk}^3 \omega_k + v_{kk}^4 \sigma_k), \\ \frac{\partial T}{\partial \varphi_k} &= -l \sum_{j=k+1}^N m_j (v_{jk}^5 \omega_k + v_{jk}^6 \sigma_k) - \\ &\quad - \frac{l}{2} m_k (v_{kk}^5 \omega_k + v_{kk}^6 \sigma_k), \end{aligned}$$

де введені компоненти різним чином повернутих швидкостей,

$$\begin{aligned} v_{jk}^3 &= (v_j^x \cos \varphi_k + v_j^y \sin \varphi_k) \sin \theta_k + v_j^z \cos \theta_k, \\ v_{jk}^4 &= (v_j^x \sin \varphi_k - v_j^y \cos \varphi_k) \cos \theta_k, \\ v_{jk}^5 &= (v_j^x \sin \varphi_k - v_j^y \cos \varphi_k) \cos \theta_k, \\ v_{jk}^6 &= (v_j^x \cos \varphi_k + v_j^y \sin \varphi_k) \sin \theta_k, \end{aligned}$$

які лінійно залежать від кутових швидкостей  $\omega_i$ ,  $\sigma_i$  системи і ці залежності мають наступний вигляд:

$$\begin{aligned} v_{jk}^3 &= v_{0k}^3 + l \sum_{i=1}^{j-1} (r_{ik} \omega_i - n_{ik} \sigma_i) + \frac{l}{2} (r_{jk} \omega_j - n_{jk} \sigma_j), \\ v_{jk}^4 &= v_{0k}^4 + l \sum_{i=1}^{j-1} (s_{ik} \omega_i - t_{ik} \sigma_i) + \frac{l}{2} (s_{jk} \omega_j - t_{jk} \sigma_j), \\ v_{jk}^5 &= v_{0k}^5 + l \sum_{i=1}^{j-1} (s_{ik} \omega_i - t_{ik} \sigma_i) + \frac{l}{2} (s_{jk} \omega_j - t_{jk} \sigma_j), \\ v_{jk}^6 &= v_{0k}^6 + l \sum_{i=1}^{j-1} (m_{ik} \omega_i - n_{ik} \sigma_i) + \frac{l}{2} (m_{jk} \omega_j - n_{jk} \sigma_j), \end{aligned}$$

де

$$\begin{aligned} r_{jk} &= \cos \theta_j \sin \theta_k \cos(\varphi_j - \varphi_k) - \sin \theta_j \cos \theta_k, \\ n_{jk} &= \sin \theta_j \sin \theta_k \sin(\varphi_j - \varphi_k), \\ s_{jk} &= -\cos \theta_j \cos \theta_k \sin(\varphi_j - \varphi_k), \\ t_{jk} &= \sin \theta_j \cos \theta_k \cos(\varphi_j - \varphi_k), \\ m_{jk} &= \cos \theta_j \sin \theta_k \cos(\varphi_j - \varphi_k). \end{aligned}$$

Узагальнені сили потенційного, а також дисипативного походження визначаються виразами (10) і (13) тому мають наступний вигляд:

$$\begin{aligned} -\frac{\partial U}{\partial \theta_k} &= l \sum_{i=k+1}^N g k_i m_i \sin \theta_k + \frac{l}{2} g k_k m_k \sin \theta_k + \\ &\quad + \kappa_k \frac{\Delta_k - \Psi_k}{\Delta_k} (\theta_k - \theta_{k-1}) - \kappa_{k+1} \frac{\Delta_{k+1} - \Psi_{k+1}}{\Delta_{k+1}} (\theta_{k+1} - \theta_k) - \\ &\quad - \kappa_k \frac{\Delta_k - \Psi_k}{2\Delta_k} (\Delta \varphi_k^2 \cos 2\theta_k), \\ -\frac{\partial U}{\partial \theta_k} &= \kappa_{k+1} \frac{\Delta_{k+1} - \Psi_{k+1}}{\Delta_{k+1}} \Delta \varphi_{k+1} \sin^2 \theta_{k+1} - \\ &\quad - \kappa_k \frac{\Delta_k - \Psi_k}{\Delta_k} \Delta \varphi_k \sin^2 \theta_k, \\ Q_k^0 &= l \sum_{j=k+1}^N f_{jk}^0 + \frac{l}{2} f_{kk}^0, \end{aligned}$$

$$Q_k^0 = l \sum_{j=k+1}^N f_{jk}^0 + \frac{l}{2} f_{kk}^0,$$

$$\text{де } f_{jk}^0 = f_j (\cos \varphi_k + \sin \varphi_k) \cos \theta_k - f_j \sin \theta_k,$$

$$f_{jk}^0 = f_j (\cos \varphi_k - \sin \varphi_k) \sin \theta_k$$

Підставляючи отримані вирази в рівняння Лагранжа (14), знаходимо систему  $2N$  динамічних рівнянь для даної механічної системи:

$$\sum_{j=1}^{k-1} M_k (a_{jk} \alpha_j + b_{jk} \beta_j) + \left( M_k - \frac{m_k}{6} \right) \alpha_k + \quad (18)$$

$$+ \sum_{j=k+1}^N M_j (a_{jk} \alpha_j + b_{jk} \beta_j) = q_k,$$

$$\sum_{j=1}^{k-1} M_k (c_{jk} \alpha_j + d_{jk} \beta_j) + \left( M_k - \frac{m_k}{6} \right) \beta_k \sin^2 \theta_k + \quad (19)$$

$$+ \sum_{j=k+1}^N M_j (c_{jk} \alpha_j + d_{jk} \beta_j) = h_k,$$

$$k = \overline{1, N},$$

де

$$q_k = \frac{\sigma_k^2}{2} \sin 2\theta_k \left( M_k - \frac{m_k}{6} \right) + \sum_{j=1}^{k-1} M_k (\tilde{a}_{jk} \omega_j^2 + \tilde{b}_{jk} \sigma_j^2) +$$

$$+ 2 \sum_{j=1}^{k-1} M_k \tilde{g}_{jk} \omega_j \sigma_j + \sum_{j=k+1}^N M_j (\tilde{a}_{jk} \omega_j^2 + \tilde{b}_{jk} \sigma_j^2) +$$

$$+ 2 \sum_{j=k+1}^N M_j \tilde{g}_{jk} \omega_j \sigma_j + \left( -\frac{\partial U}{\partial \theta_k} + Q_k^0 \right) / l^2,$$

$$h_k = -\left( M_k - \frac{m_k}{6} \right) \sigma_k \omega_k \sin 2\theta_k + \sum_{j=1}^{k-1} M_k \tilde{c}_{jk} (\omega_j^2 + \sigma_j^2) -$$

$$- 2 \sum_{j=1}^{k-1} M_k \tilde{d}_{jk} \omega_j \sigma_j + \sum_{j=k+1}^N M_j \tilde{c}_{jk} (\omega_j^2 + \sigma_j^2) -$$

$$- 2 \sum_{j=k+1}^N M_j \tilde{d}_{jk} \omega_j \sigma_j + \left( -\frac{\partial U}{\partial \varphi_k} + Q_k^0 \right) / l^2,$$

Тут введено позначення

$$\tilde{a}_{jk} = \sin \theta_j \cos \theta_k \cos(\varphi_j - \varphi_k) - \cos \theta_j \sin \theta_k,$$

$$\tilde{b}_{jk} = \sin \theta_j \cos \theta_k \cos(\varphi_j - \varphi_k),$$

$$\tilde{g}_{jk} = \cos \theta_j \cos \theta_k \sin(\varphi_j - \varphi_k)$$

$$\tilde{c}_{jk} = \sin \theta_j \sin \theta_k \sin(\varphi_j - \varphi_k),$$

$$\tilde{d}_{jk} = \cos \theta_j \sin \theta_k \cos(\varphi_j - \varphi_k),$$

$\alpha_i = \dot{\omega}_i$ ,  $\beta_i = \dot{\sigma}_i$  - кутові прискорення, причому праві частини рівнянь (18)-(19) від них не залежать і є функціями лише узагальнених координат  $\theta_k$ ,  $\varphi_k$  і швидкостей  $\omega_i$ ,  $\sigma_i$ , які визначаються вищеописаними виразами для узагальнених імпульсів і сил.

Отримана система (18)-(19) має структуру системи лінійних рівнянь відносно кутових швидкостей:

$$\sum_{a=1}^{2N} B_{ba} \gamma_a = t_b, \quad b = \overline{1, 2N}, \quad (20)$$

$$\alpha_i = \gamma_i, \quad \beta_i = \gamma_{N+i}, \quad p_i = t_i, \quad r_i = t_{N+i}$$